

Особенности точной и приближенной реконструкции параметров плоскостойких сред

С.П. Скулкин¹, В.И. Турчин²

¹ОАО «Гипрогазцентр», г. Ниж. Новгород, Алексеевская 26; ²Институт прикладной физики РАН, г. Ниж. Новгород, Ульянова 46; E-mail: turchin@hydro.appl.sci-nnov.ru

Рассмотрены точные алгоритмы решения прямой и обратной задачи рассеяния и прохождения для одномерно-неоднородного слоя, получена новая модификация уравнения Гельфанда-Левитана. На численных примерах демонстрируются особенности реконструкции профиля параметров среды и возможности использования приближения однократного рассеяния, приведены требования к спектральному составу зондирующего импульса.

Exact algorithms for direct and inverse scattering and transmission problem solution for 1D-inhomogeneous layer are considered, the new version of Gelfand-Levitan equation is derived. The medium parameter profile reconstruction performance and possibilities of single-scattering approximation are demonstrated using numerical examples; the requirements to the transmitter pulse spectrum are given.

Задача реконструкции пространственного распределения параметров неоднородных сред (скорости распространения, плотности и пр.) по данным их зондирования с помощью широкополосных сигналов имеет многочисленные приложения в сейсморазведке, георадарной технике, диагностике ионосферы, оптике и т.п. Этой проблеме посвящены многочисленные исследования на основе самых различных подходов; их полный анализ затруднителен даже в специальном обзоре. Отметим только, что в общем случае трехмерно-неоднородных сред методы реконструкции являются приближенными, что накладывает довольно существенные ограничения.

В частном, но достаточно важном случае плоскостойкой среды можно, однако, построить точные решения как прямой, так и обратной задачи [1]. Исследования в этом направлении важны по двум причинам. Во-первых, имея точные решения для одномерного случая, можно в известной степени судить о допустимости тех или иных приближений для более высокой размерности. Во-вторых, для природных сред зависимость параметров от координат обычно существенно сильнее выражена именно в одном направлении, поэтому точные решения могут иметь и практический смысл. Известно два подхода к этой задаче [1,2]. Первый основывается на интегральном уравнении Гельфанда-Левитана (см., например, [3]), устанавливающим в квантовой теории рассеяния связь между одномерным потенциалом, отличным от нуля на полупрямой, и функцией рассеяния. Второй использует кусочно-постоянную аппроксимацию параметров среды, матричные методы для нахождения коэффициентов отражения и прохождения (см., например, [4]) и рекуррентные процедуры, связывающие импульсную переходную характеристику (ИПХ) неоднородной среды и профиль параметров. В настоящей работе в рамках второго подхода дан вывод процедур решения прямой и обратной задач, несколько отличный от приведенного в [1], с обобщением на случай произвольного угла падения плоской волны, иным представлением модифицированного уравнения Гельфанда-Левитана, и демонстрацией на численных примерах особенностей точной и приближенной реконструкции профиля параметров.

Реконструкция профиля параметров среды по импульсной переходной характеристике

Рассматривается неоднородный слой в интервале $0 \leq z \leq H$ с параметрами, например, показателем преломления n , зависящими от координаты z . Слой ограничен справа и слева однородными полупространствами со скоростями распространения c_0 при $z < 0$ и $c_H = c_0/n_H$ при $z > H$. На неоднородный слой под углом θ к оси z падает плоская монохроматическая волна с круговой частотой ω . В однородных полупространствах поле $\varphi(x, z)$ (звуковое или электромагнитное) записывается в виде

$$\varphi = e^{ikx \sin \theta} \left[e^{ikz \cos \theta} + V(\kappa, \theta) e^{-ikz \cos \theta} \right], \quad z < 0; \quad \varphi = e^{ikx \sin \theta} W(\kappa, \theta) e^{-ikz \sqrt{n_H^2 - \sin^2 \theta}}, \quad z > H, \quad (1)$$

где V и W – коэффициенты отражения и прохождения соответственно, ось x параллельна неоднородному слою, $\kappa = \omega/c_0$. Разобьем неоднородную среду на M слоев с постоянными значениями параметров, в частности – показателя преломления n_m . Опуская множитель $\exp(ikx \sin \theta)$, представим поле φ внутри m -го слоя в виде

$$\varphi(z) = W_m e^{ikn_m^{(s)} z} + V_m e^{-ikn_m^{(s)} z}, \quad z_{m-1} < z \leq z_m \quad (2)$$

где $n_m^{(s)} = \sqrt{n_m^2 - \sin^2 \theta}$, z_m – координаты границ между слоями. В дальнейшем полагаем, что всюду $\sin \theta < n_m$: случай полного внутреннего отражения требует специального рассмотрения. Связь между коэффициентами отражения V_{m+1}, V_m и прохождения W_{m+1}, W_m определяется 2×2 матрицей \mathbf{P}_m : $\mathbf{u}_{m+1} = \mathbf{P}_m \mathbf{u}_m$, где $\mathbf{u}_m = (V_m, W_m)^T$, а элементы \mathbf{P}_m (пропэгатора) представляют собой фазовые множители с амплитудами, зависящими от коэффициента отражения v_m от $m+1$ -го слоя в m -й слой. Этот коэффициент определяется известными формулами Френеля (см., например, [5] для звуковых или электромагнитных волн) и выражается через импеданс Z_m :

$$v_m = (Z_{m+1} - Z_m) / (Z_{m+1} + Z_m), \quad (3)$$

Обозначая $\mathbf{P}^{(m)} = \mathbf{P}_m \mathbf{P}_{m-1} \dots \mathbf{P}_0$, приходим к уравнению $\mathbf{u}_{M+1} = \mathbf{P}^{(M)} \mathbf{u}_0$, где $\mathbf{u}_0 = (V, 1)^T$, $\mathbf{u}_{M+1} = (0, W)^T$, откуда следует

$$V = -P_{12}^{(M)} / P_{11}^{(M)}, \quad W = w_M^{(0)} / P_{11}^{(M)} \quad (4)$$

где $w_M^{(0)} = \det \mathbf{P}^{(M)}$. Матричные элементы $P_{11}^{(m)}, P_{12}^{(m)}$ находятся с помощью достаточно простых рекуррентных соотношений. Для решения обратной задачи необходимо ввести ряд дополнительных условий: (1) независимость импеданса и показателя преломления от частоты и (2) отсутствие поглощения. Для построения замкнутого алгоритма необходимо также наложить условие на способ разбиения неоднородной среды на однородные слои: последние должны иметь одинаковую оптическую толщину, т.е.

$$z_1 n_1^{(s)} = (z_2 - z_1) n_2^{(s)} = \dots = (z_M - z_{M-1}) n_M^{(s)} = d \quad (5)$$

В этом случае элементы $P_{11}^{(m)}, P_{12}^{(m)}$ становятся тригонометрическими полиномами от $\zeta = \exp(2ikd)$ степени m : $P_{11}^{(1)}(\zeta) = P_{11}^{(m)}(e^{2ikd})$; $P_{12}^{(2)}(\zeta) = P_{12}^{(m)}(e^{2ikd})$. Нетрудно показать, что коэффициенты этих полиномов, $a_{m,l}^{(1)}$ и $a_{m,l}^{(2)}$, $l = 0, \dots, m$, определяются рекуррентными соотношениями

$$\begin{aligned} a_{m,l}^{(1)} &= a_{m-1,l}^{(1)} - v_m a_{m-1,m-l}^{(2)}, \\ a_{m,l}^{(2)} &= a_{m-1,l}^{(2)} - v_m a_{m-1,m-l}^{(1)}, \end{aligned} \quad l = 1, \dots, m-1 \quad (6)$$

и явными выражениями: $a_{m,0}^{(1)} = 1$, $a_{m,0}^{(2)} = -v_0$, $a_{m,m}^{(1)} = v_0 v_m$, $a_{m,m}^{(2)} = -v_m$. Совокупности полиномиальных коэффициентов удобно в дальнейшем рассматривать как треугольные $(M+1) \times (M+1)$ матрицы $\mathbf{A}_{1,2} = \left\| a_{m,l}^{(1,2)} \right\|$ с нулевыми элементами при $l > m$.

Переход во временную область выполняется с помощью z-преобразований: $V(\zeta) = \sum_{l=0}^{\infty} r_l \zeta^l$, $W(\zeta) = \sum_{l=0}^{\infty} q_l \zeta^l$, где r_l, q_l пропорциональны отсчетам ИПХ среды на отражение и прохождение в моменты $t_l = 2dl / c_0$ ($l = 0, 1, \dots$). При этом (4) переходит в

$$P_m^{(1)}(\zeta)V(\zeta) = -P_m^{(2)}(\zeta); \quad P_m^{(1)}(\zeta)W(\zeta) = w_0^{(M)}, \quad (7)$$

где $m=M$. Таким образом, решение как прямой, так и обратной задач сводится к установлению явной связи между последовательностями (векторами) $\mathbf{r} = (r_0, r_1, \dots)$ или $\mathbf{q} = (q_0, q_1, \dots)$ и последовательностью (вектором) коэффициентов отражения $\mathbf{v} = (v_0, v_1, \dots, v_M)$. Как следует из (7), эта связь устанавливается через коэффициенты полиномов $a_{m,l}^{(1)}$ и $a_{m,l}^{(2)}$:

$$r_0 = -a_{0,0}^{(2)} = v_0; \quad r_l = -a_{m,l}^{(2)} - \sum_{l'=0}^{l-1} r_{l'} a_{m,l-l'}^{(1)}, \quad 1 \leq l \leq m \quad (8)$$

$$q_0 = w_0^{(m)}; \quad q_l = -\sum_{l'=0}^{l-1} q_{l'} a_{m,l-l'}^{(1)}, \quad 1 \leq l \leq m \quad (9)$$

При решении прямой задачи $\mathbf{v} \rightarrow \mathbf{r}, \mathbf{q}$ матрицы $\mathbf{A}_1, \mathbf{A}_2$ находятся с помощью рекуррентных соотношений (6). Для $m > M$, т.е. для времен, превышающих время прихода отражения от последней границы между слоями,

$$r_m = -\sum_{l=1}^M r_{m-l} a_{M,l}^{(1)}, \quad q_m = -\sum_{l=1}^M q_{m-l} a_{M,l}^{(1)} \quad (10)$$

Обратная задача $\mathbf{r} \rightarrow \mathbf{v}$ может быть решена двумя способами. Первый основан на том, что значение m в (8) для отраженного сигнала может не фиксироваться, а увеличиваться последовательно, начиная с 1. При этом получаем

$$v_m = \left(r_m + \sum_{l=1}^{m-1} r_l a_{m-1,m-l}^{(1)} \right) \left(1 + \sum_{l=0}^{m-1} r_l a_{m-1,l}^{(2)} \right)^{-1}, \quad m = 2, 3, \dots \quad (11)$$

В (11) входят строки матриц $\mathbf{A}_1, \mathbf{A}_2$ с номером $m-1$, которые вычисляются по коэффициентам v_0, \dots, v_{m-1} , найденным на предыдущем шаге. Для $m=0, 1$ берется $v_0 = r_0$, $v_1 = r_1 / (1 - r_0^2)^{1/2}$.

Второй способ позволяет строить решение обратной задачи для фиксированного $m=M$. Можно показать, что элементы m -й строки матрицы \mathbf{A}_2 являются решением системы линейных уравнений

$$r_l + a_{m,l}^{(2)} - \sum_{s=1}^m \bar{r}_{l,s} a_{m,s}^{(2)} = 0, \quad (12)$$

¹ Решение обратной задачи по отсчетам ИПХ на прохождение q_0, q_1, \dots представляет более сложную проблему. Можно показать, что оно неединственное, причем число возможных нетривиальных решений быстро увеличивается с ростом M .

с $(m+1) \times (m+1)$ матрицей системы $\mathbf{I} - \|\bar{r}_{l,s}\|$, где \mathbf{I} – единичная матрица, $\bar{r}_{s,l} = \sum_{j=1}^{\min\{s,l\}} r_{l-j} r_{s-j}$, и $v_m = -a_{m,m}^{(2)}$. Можно далее в (12) устремить $d \rightarrow 0$, получая модифицированное уравнение Гельфанда-Левитана:

$$r(y) + \int_0^y \bar{r}(y,s) A_2(x,s) ds = -A_2(x,y), \quad (13)$$

где $v(x) = -A_2(x,x)$; $v(x_m) \rightarrow v_m/d$, $r(x_m) \rightarrow r_m/d$, и $\bar{r}(y,s) = \int_0^{\min\{y,s\}} r(y-s')r(s-s')ds'$.

Уравнение (13) отличается от канонического [3] и приведенного в [1,2] видом ядра; удобство (13) заключается в возможности его решения методом простых итераций; за начальное приближение берется $A_2^{(0)} = -r(y)$. Восстанавливаемая характеристика среды представляет собой производную импеданса: $v(x) = Z'(x)/2Z(x)$, аргументом которой является оптическая длина $x(z) = \int_0^z \sqrt{n^2(z') - \sin^2 \theta} dz'$. Профиль импеданса находится как

$$Z_{m+1} = Z_0 \prod_{l=0}^m \frac{v_l - 1}{v_l + 1} \approx Z_0 \exp\left(2 \sum_{l=0}^m v_l\right), \quad m = 0, \dots, M+1 \quad (14)$$

а переход от оптической длины x_m к координате z_m при фиксированном угле θ возможен лишь в случае, когда из импеданса можно выделить показатель преломления, например, полагая $n_m^{(s)} = Z_0 / Z_m$; тогда $z_m = d \sum_{l=1}^m 1/n_m^{(s)}$, $m = 1, \dots$.

Важным моментом является связь между порядками величин \mathbf{r}, \mathbf{q} и \mathbf{v} . Можно показать, что

$$r_m = v_m + o(v_m^3), \quad q_m = w_M^{(0)} \left(\sum_{l=0}^{M-m} v_l v_{l+m} + o(v_m^4) \right), \quad (15)$$

так что при малых градиентах импеданса можно пренебречь следующими порядками малости v_m , что соответствует приближению однократного рассеяния. Собственно, полученные выше точные решения и позволяют исследовать корректность данного приближения.

Численные примеры

Вначале рассмотрим особенности преобразования $\mathbf{v} \rightarrow \mathbf{r}$ и обратного преобразования $\mathbf{r} \rightarrow \mathbf{v}'$; \mathbf{v} и \mathbf{v}' могут несколько различаться из-за ошибок округления. На рис. 1 приведены графики последовательностей \mathbf{v} и \mathbf{r} для \mathbf{v} , взятого в виде случайного вектора длиной $M=150$ с равномерным распределением в интервале $[-v_0, v_0]$; там же приведена максимальная погрешность реконструкции $\max |v_m - v'_m|$. Как видно из рис.1, характер отраженного сигнала существенно меняется в зависимости от v_0 : при малых v_0 $r_m \approx v_m$, а с увеличением v_0 последовательность $|r_m|$ быстро убывает с ростом m : имеет место так называемый эффект кажущегося ослабления, подробно рассматривавшийся в литературе (см., например, [6]). Погрешность реконструкции при этом остается приемлемой, но увеличивается на ~ 12 порядков, что и иллюстрирует границы неустойчивости обратной задачи, появляющейся с увеличением M и v_0 .

При реконструкции непрерывных профилей с уменьшением шага дискретизации d одновременно уменьшаются величины v_n и увеличивается длина обрабатываемого вектора M . Результаты реконструкции для этого случая при $\theta=0$ проиллюстрируем на примере слоя с линейно меняющимся показателем преломления: $n(z)=1+(n_H-1)z/H, 0 \leq z < H$ и $n(z)=n_H, z \geq H$. Производная импеданса здесь находится в явном виде

$$v(x) = -\frac{n'(x)}{2n(x)} = -\frac{n_H-1}{2[H+2(n_H-1)x]}, \quad 0 \leq x < H \cdot (n_H+1)/2; \quad (16)$$

и $v(x)=0$ при $x \geq H \cdot (n_H+1)/2$. Соответственно $v_m = d \cdot v(md)$. На рис.2а

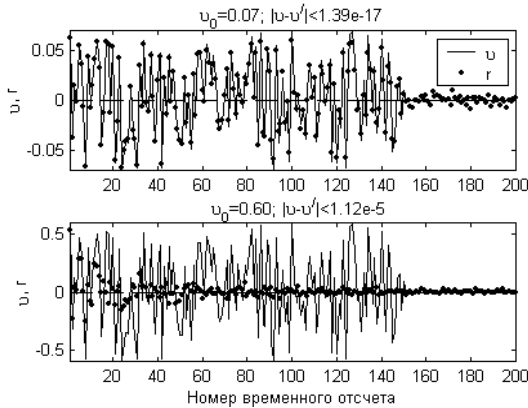


Рис. 1. Пример различий в r_m при разных величинах v

при допустимой погрешности $\sim 10\%$ можно не прибегать к преобразованию $\mathbf{r} \rightarrow \mathbf{v}$ до значений $n_0 < 3$.

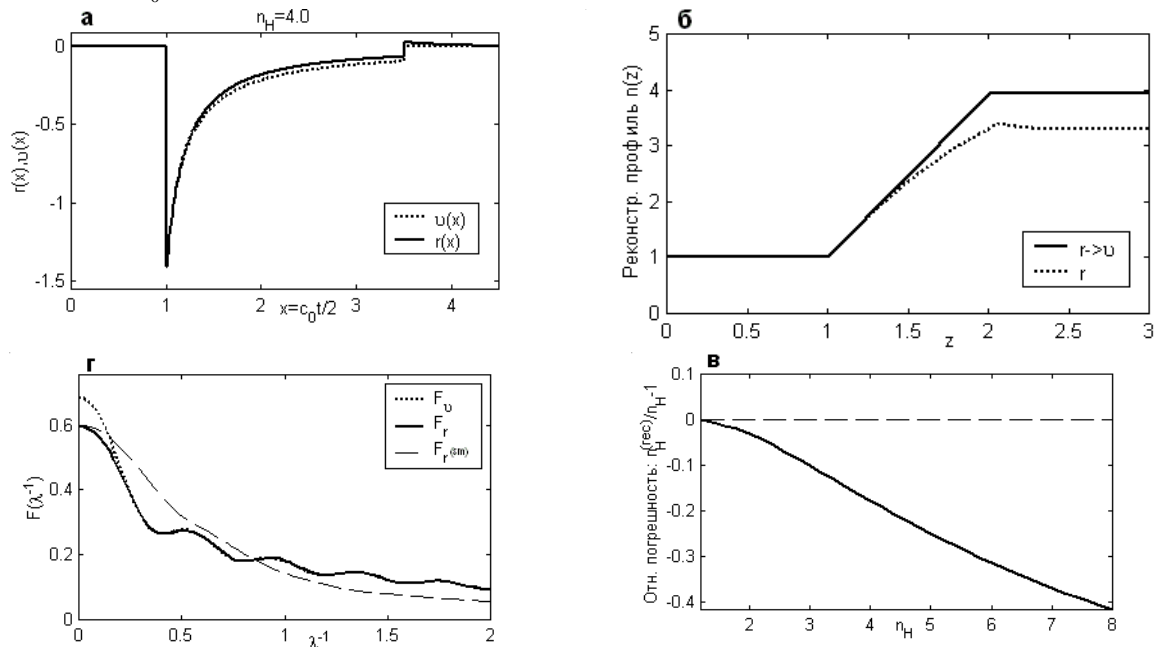


Рис. 2. Производная импеданса v и ИПХ r для линейного слоя (а), реконструированные профили с преобразованием $\mathbf{r} \rightarrow \mathbf{v}$ и непосредственно по отсчетам ИПХ (б), относительная погрешность реконструкции без преобразования $\mathbf{r} \rightarrow \mathbf{v}$ (в) и спектры производной импеданса, ИПХ и ИПХ среды со «сглаженным» переходом от 1 к n_H (г)

На практике реально наблюдается отраженный сигнал вида $r(t) \otimes s(t)$, где $s(t)$ представляет форму зондирующего импульса, спектр которого сосредоточен в ограниченной области частот $f_{\min} < f < f_{\max}$. Расчеты показали, что ширина импульса $\sim 1/(f_{\max} - f_{\min})$ не играет существенной роли: применение процедуры $\mathbf{r} \rightarrow \mathbf{v}$ к наблюдаемому сигналу приводит к сглаженному профилю без искажения количественных характеристик. Более существенным оказывается пропуск нижних частот. На рис.2г приведены модули спектров $F(\lambda^{-1})$ функций $v(x)$, $r(x)$ и $r^{(sm)}(x)$ - ИПХ сглаженного профиля, образованного двумя сплайнами 2-го порядка; здесь $\lambda^{-1} = 2f/c_0$. Эти спектры имеют главный максимум с шириной $\Delta\lambda^{-1} \sim 2/(n_H + 1)H$. Соответственно спектр зондирующего импульса должен «захватывать» этот главный максимум, т.е. должно выполняться условие $f_{\min} \geq c_0/(n_H + 1)H$; в противном случае непрерывные компоненты профиля импеданса просто не будут воспроизводиться.

Литература

1. Аки К., Ричардс П. Количественная сейсмология: Теория и методы. Т.2. Пер. с англ.-М.: Мир, 1983.-360 С.
2. Робинсон Э.А. Спектральный подход к решению обратной задачи в геофизике на основе преобразований Лоренца, Фурье и Радона. ТИИЭР, 1982, Т.70, №9, С.153-171.
3. Левитан Б.М. Обратные задачи Штурма-Лиувилля. М.: Наука, 1984.-240 С.
4. Молотков Л.А. Матричный метод в теории распространения волн в слоистых упругих и жидких средах. Л.: Наука, 1984.-201 С.
5. Бреховских Л.М. Волны в слоистых средах. М.: Наука, 1973.-343 С.
6. Maweu J.M., Margrave G.F. Dispersion and apparent attenuation due to fine stratigraphy. CREWES Research Report, 2007, V.19, P.1-9